

В. В. ПУСТОВАЛОВ, В. И. СТАРЦЕВ, В. С. ФОМЕНКО

## ЭЛЕКТРОННОЕ ТОРМОЖЕНИЕ ДИСЛОКАЦИЙ В СВЕРХПРОВОДНИКАХ II РОДА

(Представлено академиком И. В. Образцовым 9 VII 1970)

Если влияние сверхпроводящего перехода на деформирующие напряжения сверхпроводников I рода (Pb, In, Tl, Sn, Hg) изучено довольно широко (см., например, <sup>(1-4)</sup>), то на сверхпроводниках II рода это явление исследовалось мало <sup>(5-6)</sup>.

В настоящей работе изучалось влияние перехода из сверхпроводящего в нормальное ( $s - n$ ) и сменное состояния ( $s - m$ ) и обратного перехода ( $n - s$  и  $m - s$ ) на деформирующие напряжения в сверхпроводниках II рода в сравнении со сверхпроводниками I рода. Специальное внимание было уделено особенностям торможения дислокаций в смешанном состоянии, так как при этом можно изменять торможение дислокаций электронами проводимости, уменьшая или увеличивая внешнее магнитное поле, за счет изменения доли нормальной фазы в образце. Кро-

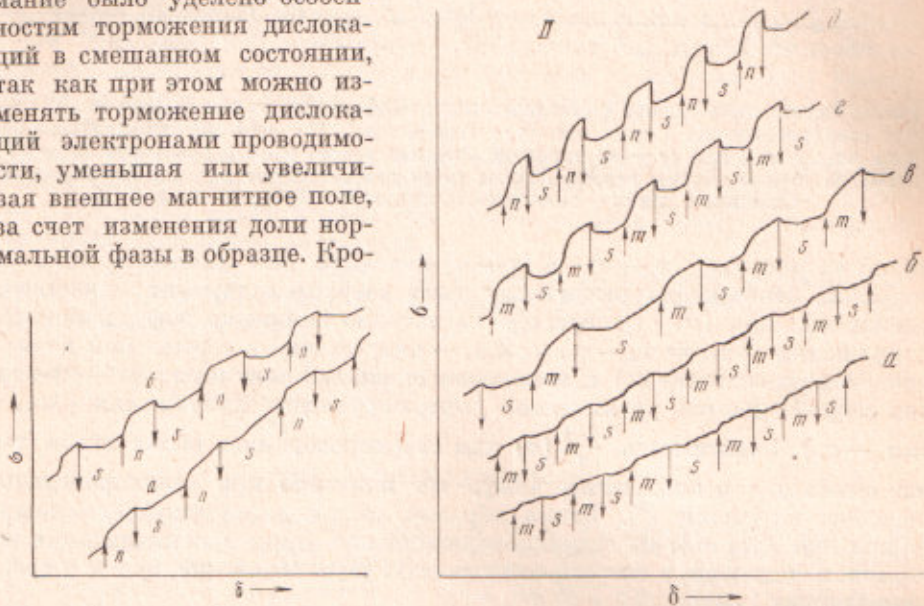


Рис. 1. Участки макроскопических кривых растяжения с многократным изменением состояния поликристаллов In — 3,9 ат. % Pb. I — при разных температурах:  $a - T = 2,9^\circ\text{K}$  (сверхпроводник I рода);  $b - T = 1,6^\circ\text{K}$  (сверхпроводник II рода). II — при разных величинах магнитного поля:  $a - H / H_{c_0} = 0,35$ ;  $b - 0,45$ ;  $c - 0,56$ ;  $d - H / H_{c_0} = 1,27$

ме того, в смешанном состоянии может возникать торможение дислокаций за счет их взаимодействия с магнитными вихрями.

Исследование проводилось на сплавах Pb — In с различной концентрацией индия. Чистота исходного свинца 99,9995 %, индия 99,999 %. Материал изготавливался в вакууме при тщательном перемешивании расплава. Химический анализ полученного таким образом сплава дал хорошее совпадение с исходной концентрацией. Поликристаллические образцы деформировались растяжением на низкотемпературной микромашине

(<sup>7</sup>) при температуре ниже  $T_s$ , состояние образца задавалось полем сверхпроводящего соленоида, окружающего образец. В качестве объекта для сравнительного исследования особенностей скачка деформирующего напряжения при ( $n - s$ )- и ( $s - n$ )-переходах в сверхпроводниках I и II рода был выбран сплав In — 3,9 ат. % Pb. В этом сплаве по измерениям кривой намагничивания и теплопроводности (<sup>8</sup>) обнаружено существование различного типа сверхпроводимости в разных температурных областях: при  $T < 2,25^\circ\text{K}$  этот сплав — сверхпроводник II рода, при  $T > 2,25^\circ\text{K}$  — сверхпроводник I рода. Таким образом, меняя температуру исследования, можно на одном образце получить два различных типа проводимости.

На рис. 1 (I) представлены типичные участки макроскопических кривых растяжения с многократным изменением состояния поликристаллов In — 3,9 ат. % Pb, деформированных при различных температурах. Как

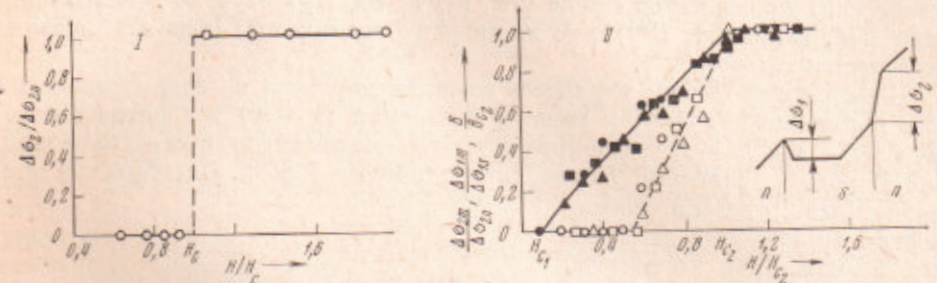


Рис. 2. Зависимость скачка деформирующего напряжения от магнитного поля: I — для сверхпроводника I рода при ( $s - n$ )-переходе; II — для сверхпроводника II рода  $\Delta\sigma_{2m} / \Delta\sigma_{2n}$  при ( $s - m$ )-переходе (черные точки) и  $\Delta\sigma_{1m} / \Delta\sigma_{1s}$  при ( $m - s$ )-переходе (белые точки); различные формы точек соответствуют различным образцам. Сплошная линия — зависимость индукции  $B / B_{c_2}$  от поля  $H / H_{c_2}$ .

видно из рисунка, ( $n - s$ )- и ( $s - n$ )-переходы для температурных интервалов, отвечающих различному типу сверхпроводимости, качественно одинаковы: при ( $n - s$ )-переходе характерно снижение деформирующего напряжения ( $\Delta\sigma_{1s} = \sigma_n - \sigma_s$ ,  $\sigma_n$  и  $\sigma_s$  — напряжения в нормальном и сверхпроводящем состояниях) и появление площадки текучести; ( $s - n$ )-переход сопровождается увеличением деформирующего напряжения ( $\Delta\sigma_{2n} = \sigma_s - \sigma_n$ ). Зависимость  $\frac{\Delta\sigma}{\sigma}$  ( $\delta$ ) для сверхпроводников обоих типов также одинакова и аналогична тому, что получено при сверхпроводящем переходе на свинце (<sup>9</sup>). Таким образом, скачок деформирующего напряжения при переходе из сверхпроводящего состояния в нормальное и при обратном переходе в сверхпроводниках II рода такой же, как и в сверхпроводниках I рода.

Изучение скачка деформирующего напряжения в смешанном состоянии в сплаве In — 3,9 ат. % Pb затруднительно в силу того, что его область очень мала (<sup>8</sup>):  $H_{c_1} = 299$  э,  $H_{c_2} = 333,5$  э. Поэтому был выбран сплав Pb — 13 ат. % In, который во всем интервале температур является сверхпроводником II рода с параметрами при  $4,2^\circ\text{K}$ :  $H_{c_1} = 280$  э,  $H_{c_2} = 2400$  э.

В процессе деформирования такого сплава образец многократно переводился из сверхпроводящего состояния  $s$  в смешанное  $m$ , причем магнитное поле менялось от  $H_{c_1}$  до  $H_{c_2}$ . Перевод сопровождался увеличением деформирующего напряжения  $\Delta\sigma_{2m} = \sigma_m - \sigma_s$  ( $(s - m)$ -переход,  $\sigma_m$  — деформирующее напряжение в смешанном состоянии), которое по абсолютной величине всегда было меньше  $\Delta\sigma_{2n}$ . Это хорошо видно из рис. 1 (II), где приведены макроскопические участки кривых деформирования с многократным переводом образца из одного состояния в другое, но при

различных  $H / H_{c_2}$ . Отчетливо видно, что по мере роста поля как  $\Delta\sigma_{1m}$  ( $(m - s)$ -переход), так и  $\Delta\sigma_{2m}$  увеличиваются. На рис. 2 дана зависимость  $\Delta\sigma_{1m} / \Delta\sigma_{1s}$ ,  $\Delta\sigma_{2m} / \Delta\sigma_{2s}$  от  $H / H_{c_2}$ . Различие между двумя типами сверхпроводников состоит в том, что в сверхпроводнике первого рода изменение деформирующего напряжения наблюдается при  $H \geq H_c$  и происходит резким скачком, а в сверхпроводниках II рода изменение  $\Delta\sigma_{2m} / \Delta\sigma_{2s}$  при полях, меньших  $H_{c_1}$ , равно нулю, а затем линейно растет с увеличением поля от  $H_{c_1}$  до  $H_{c_2}$  и достигает насыщения при  $H = H_{c_2}$ . Дальнейший рост поля практически не сказывается на величине  $\Delta\sigma_{2m} / \Delta\sigma_{2s}$ . На этом же рисунке сплошной линией показано изменение индукции ( $B / B_{c_2}$ ) с изменением поля для сплава Pb — 12 ат. % In \*. Это сопоставление показывает, что изменение  $\Delta\sigma_{2m} / \Delta\sigma_{2s}$  происходит по тому же закону, что и изменение индукции в сверхпроводнике II рода.

Нужно отметить, что при  $(m - s)$ -переходе зависимость скачка деформирующего напряжения от поля имеет несколько другой вид, чем при  $(s - m)$ -переходе. Эта зависимость также линейна относительно поля, однако  $\Delta\sigma_{1m} / \Delta\sigma_{1s} \neq 0$  при полях, много больших  $H_{c_1}$ , и не коррелируется с кривой намагничивания.

Тот факт, что при малых полях прирост деформирующего напряжения ( $\Delta\sigma_{2m}$ ) сильно зависит от поля и что эта зависимость такая же, что  $B / B_{c_2}$ , по-видимому, указывает на преобладающее электронное торможение дислокаций. Различие в зависимостях  $\Delta\sigma_{2m} / \Delta\sigma_{2s}$  и  $\Delta\sigma_{1m} / \Delta\sigma_{1s}$  от  $H / H_{c_2}$  может свидетельствовать о различных механизмах, сопровождающих эти переходы, и, по-видимому, электронный механизм торможения полностью характеризует  $\Delta\sigma_2$ . Об этом свидетельствует измерение температурной зависимости скачка деформирующего напряжения при сверхпроводящем переходе <sup>(11)</sup>.

Однако полностью механизм торможения дислокаций в смешанном состоянии еще не ясен, так как принципиально также возможно торможение дислокаций макроскопическим вихрями. Долю такого торможения в этих опытах определить не удалось.

Авторы благодарны чл.-корр. АН УССР Б. И. Веркину за внимание к работе, Б. Я. Сухаревскому, В. П. Галайко, В. Я. Кравченко, Н. Я. Фогель за полезные дискуссии.

Физико-технический институт низких температур  
Академии наук УССР  
Харьков

Поступило  
8 VII 1970

#### ЦИТИРОВАННАЯ ЛИТЕРАТУРА

- <sup>1</sup> В. В. Пустовалов, В. И. Старцев, В. С. Фоменко, Препринт Физ.-технич. инст. низких температур АН УССР, Харьков, 1968; ФТТ, 11, № 5, 1282 (1969).
- <sup>2</sup> G. A. Alers, O. Vick, B. R. Tittman, Phys. Rev. Lett., 23, № 3, 290 (1969).
- <sup>3</sup> И. А. Гиндин, Б. Г. Лазарев и др., ДАН, 188, № 4, 803 (1969).
- <sup>4</sup> В. П. Солдатов, В. И. Старцев, Т. И. Вайнблат, Препринт Физ.-технич. инст. низких температур АН УССР, Харьков, 1969; Phys. Stat. Sol., 37, № 1, 47 (1970).
- <sup>5</sup> Н. Коити, T. Suzuki, Phys. Rev. Lett., 21, № 13, 896 (1968).
- <sup>6</sup> G. Kostorz, Scr. Met., 4, № 2, 95 (1970).
- <sup>7</sup> В. В. Пустовалов, Г. С. Мелько и др., Приборы и техн. эксп., № 2, 184 (1967).
- <sup>8</sup> K. Noto, Sci. Rep. Ritu A, 20, № 4, 129, Sendai, Japan, (1968).
- <sup>9</sup> В. В. Пустовалов, В. И. Старцев, В. С. Фоменко, Препринт Физ.-технич. инст. низких температур АН УССР, Харьков, 1969; Phys. Stat. Sol., 37, № 4, 413 (1970).
- <sup>10</sup> D. E. Fagge II, B. S. Chandrasekhar, Phys. Rev., 177, № 2, 694 (1969).
- <sup>11</sup> В. В. Пустовалов, В. С. Фоменко, Письма ЖЭТФ, 12, в. 1, 15 (1970).

\* Авторы благодарят В. Г. Волоцкую и Н. Я. Фогель за измерение кривой намагниченности.